

Modèle bayésien hiérarchique pour l'estimation du coefficient de reproduction de la COVID-19 à partir de comptes hebdomadaires

GRETSI'25 : XXX^{ème} Colloque français de Traitement du Signal et des Images

Strasbourg, 25 au 29 août 2025

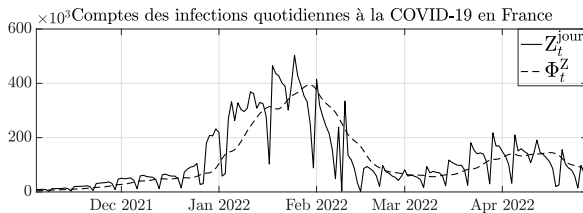
Barbara Pascal[†] et **Patrice Abry[‡]**

[†] Nantes Université, École Centrale Nantes, CNRS, LS2N, UMR 6004, F-44000 Nantes, France

[‡] CNRS, Ens de Lyon, Laboratoire de Physique, Lyon, France

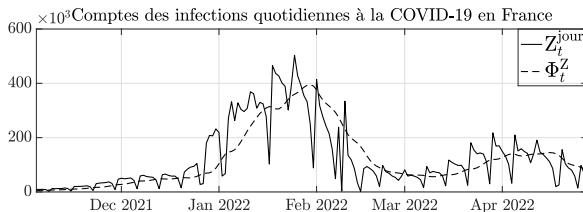
Avec le soutien du financement ANR **OptiMoCSI** (ANR-23-CE48-0009)

Surveillance d'épidémie à partir des comptes d'infections



Suivi de la COVID-19 par l'Université Johns Hopkins (coronavirus.jhu.edu)

Surveillance d'épidémie à partir des comptes d'infections

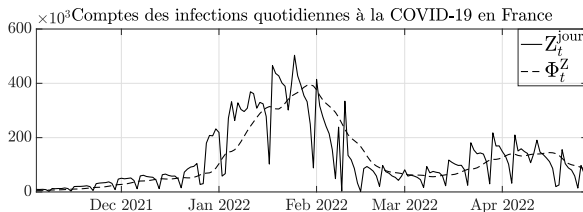


Suivi de la COVID-19 par l'Université Johns Hopkins (coronavirus.jhu.edu)

Nombre de reproduction effectif : indicateur épidémiologique R_t dépendant du temps
nombre de cas secondaires générés par un individu contagieux

(Wallinga et coll. 2004, *Am. J. of Epidemiol.* ; Cori et coll. 2013, *Am. J. Epidemiol.*)

Surveillance d'épidémie à partir des comptes d'infections



Suivi de la COVID-19 par l'Université Johns Hopkins (coronavirus.jhu.edu)

Nombre de reproduction effectif : indicateur épidémiologique R_t dépendant du temps
nombre de cas secondaires générés par un individu contagieux

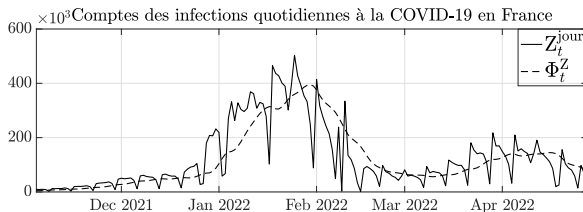
(Wallinga et coll. 2004, *Am. J. of Epidemiol.* ; Cori et coll. 2013, *Am. J. Epidemiol.*)

Interprétation directe

- $R_t < 1$ décroissance exponentielle du nombre de cas
- $R_t = 1$ épidémie stable
- $R_t > 1$ croissance exponentielle du nombre de cas : **vague épidémique**

Objectif : estimation de R_t **précise**, **robuste** avec **niveau de confiance** fiable

Surveillance d'épidémie à partir des comptes d'infections



Suivi de la COVID-19 par l'Université Johns Hopkins (coronavirus.jhu.edu)

Nombre de reproduction effectif : indicateur épidémiologique R_t dépendant du temps
nombre de cas secondaires générés par un individu contagieux

(Wallinga et coll. 2004, *Am. J. of Epidemiol.* ; Cori et coll. 2013, *Am. J. Epidemiol.*)

Enjeux et difficultés de l'estimation durant une pandémie :

- forte **variabilité intrinsèque** des comptes due à la propagation virale aléatoire
- **erreurs et délais** dans le report des cas, par exemple lors des jours chômés
- passage d'un report quotidien à un décompte à l'échelle de la **semaine**

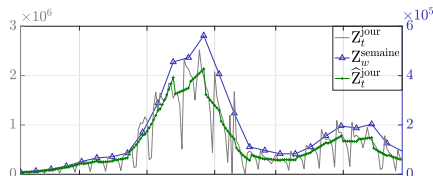
Estimation en deux étapes :

- comptes quotidiens par **interpolation**

\hat{Z}_t^{jour} à partir des Z_w^{semaine}

guidée par modèle de propagation

(Nash et coll. 2023, *PLoS Comput. Biol.*)



Estimation en deux étapes :

- comptes quotidiens par **interpolation**

\hat{Z}_t^{jour} à partir des Z_w^{semaine}

guidée par modèle de propagation

(Nash et coll. 2023, *PLoS Comput. Biol.*)

- estimateur **bayésien** régularisé

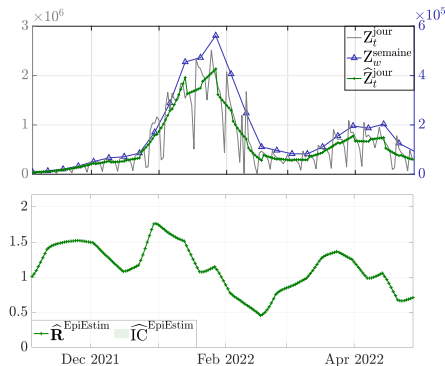
$\hat{R}^{\text{EpiEstim}}$: moyenne à posteriori

$\hat{IC}^{\text{EpiEstim}}$: intervalles de crédibilité

quantiles à $\varepsilon = 2,5\%$ et $1 - \varepsilon = 97,5\%$

(Cori et coll. 2013, *Am. J. Epidemiol.* ;

Thompson et coll. 2019, *Epidemics*)



État-de-l'art en épidémiologie : EpiEstim

Estimation en deux étapes :

- comptes quotidiens par **interpolation**

$$\hat{Z}_t^{\text{jour}} \text{ à partir des } Z_w^{\text{semaine}}$$

guidée par modèle de propagation

(Nash et coll. 2023, *PLoS Comput. Biol.*)

- estimateur **bayésien** régularisé

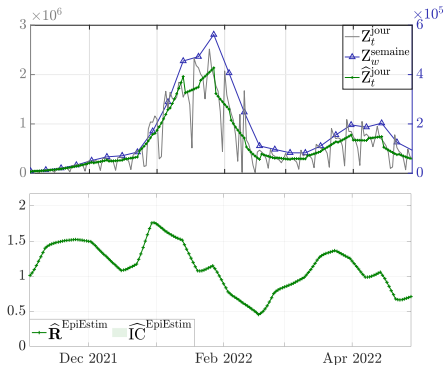
$\hat{R}^{\text{EpiEstim}}$: moyenne à posteriori

$\hat{IC}^{\text{EpiEstim}}$: intervalles de crédibilité

quantiles à $\varepsilon = 2,5\%$ et $1 - \varepsilon = 97,5\%$

(Cori et coll. 2013, *Am. J. Epidemiol.* ;

Thompson et coll. 2019, *Epidemics*)



Limitations :

- fluctuations temporelles **rapides** : incompatible avec évolution régulière
- intervalles de crédibilité très **étroits** : ne reflète pas l'incertitude réelle
- biais : estimation quotidienne à partir de données **hebdomadaires**

Distribution de Poisson

$$Z_t \mid Z_1, \dots, Z_{t-1} \sim \mathcal{P}(\Phi_t^Z R_t), \quad \Phi_t^Z = \sum_{s=1}^{\tau_\Phi} \phi(s) Z_{t-s}$$

(Cori et coll. 2013, *Am. J. Epidemiol.*; Liu et coll. 2018, *PNAS*)

ϕ : distribution Gamma tronquée à $\tau_\Phi = 25$ jours, moyenne 6,6 jours, écart-type 3,5 jours

(Cereda et coll. 2020, *arXiv* :2003.09320; Riccardo et coll. 2020, *Euro Surveillance*)

Distribution de Poisson

$$Z_t \mid Z_1, \dots, Z_{t-1} \sim \mathcal{P}(\Phi_t^Z R_t), \quad \Phi_t^Z = \sum_{s=1}^{\tau_\Phi} \phi(s) Z_{t-s}$$

(Cori et coll. 2013, *Am. J. Epidemiol.*; Liu et coll. 2018, *PNAS*)

Estimateur du maximum de vraisemblance : $\hat{R}_t^{\text{ML}} = Z_t / \Phi_t^Z$

ϕ : distribution Gamma tronquée à $\tau_\Phi = 25$ jours, moyenne 6,6 jours, écart-type 3,5 jours

(Cereda et coll. 2020, *arXiv* :2003.09320; Riccardo et coll. 2020, *Euro Surveillance*)

Modèle de Poisson remis à l'échelle

Distribution de Poisson

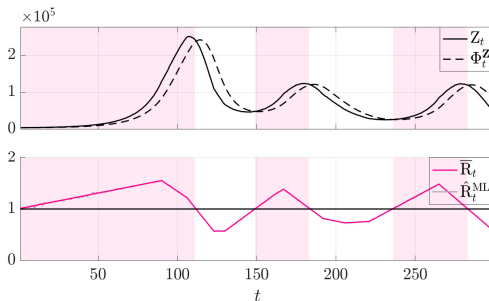
$$Z_t \mid Z_1, \dots, Z_{t-1} \sim \mathcal{P}(\Phi_t^Z R_t), \quad \Phi_t^Z = \sum_{s=1}^{\tau_\Phi} \phi(s) Z_{t-s}$$

(Cori et coll. 2013, *Am. J. Epidemiol.*; Liu et coll. 2018, *PNAS*)

Estimateur du maximum de vraisemblance : $\hat{R}_t^{\text{ML}} = Z_t / \Phi_t^Z$

Données synthétiques :

(Cori et coll. 2013, *Am. J. Epidemiol.*; Liu et coll. 2018, *PNAS*)



ϕ : distribution Gamma tronquée à $\tau_\Phi = 25$ jours, moyenne 6,6 jours, écart-type 3,5 jours

(Cereda et coll. 2020, *arXiv :2003.09320*; Riccardo et coll. 2020, *Euro Surveill*)

Modèle de Poisson remis à l'échelle

Distribution de Poisson remise à l'échelle $\gamma > 1$: variance mieux ajustée

$$\frac{Z_t}{\gamma} \mid Z_1, \dots, Z_{t-1} \sim \mathcal{P} \left(\frac{\Phi_t^Z R_t}{\gamma} \right), \quad \Phi_t^Z = \sum_{s=1}^{\tau_\Phi} \phi(s) Z_{t-s}$$

(Pascal et coll. 2024, *arXiv:2409.14937*)

Estimateur du maximum de vraisemblance : $\hat{R}_t^{\text{ML}} = Z_t / \Phi_t^Z$

ϕ : distribution Gamma tronquée à $\tau_\Phi = 25$ jours, moyenne 6,6 jours, écart-type 3,5 jours

(Cereda et coll. 2020, *arXiv:2003.09320*; Riccardo et coll. 2020, *Euro Surveillance*)

Modèle de Poisson remis à l'échelle

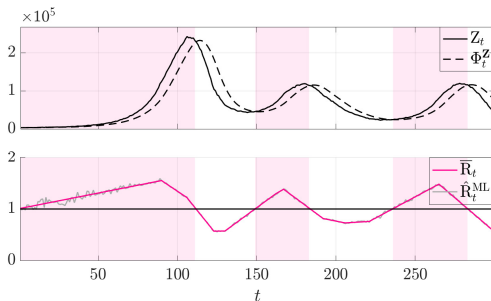
Distribution de Poisson remise à l'échelle $\gamma > 1$: variance mieux ajustée

$$\frac{Z_t}{\gamma} \mid Z_1, \dots, Z_{t-1} \sim \mathcal{P} \left(\frac{\Phi_t^Z R_t}{\gamma} \right), \quad \Phi_t^Z = \sum_{s=1}^{\tau_\Phi} \phi(s) Z_{t-s}$$

(Pascal et coll. 2024, [arXiv:2409.14937](#))

Estimateur du maximum de vraisemblance : $\hat{R}_t^{\text{ML}} = Z_t / \Phi_t^Z$

Données synthétiques : $\gamma = 10$ (Pascal et coll. 2024, [arXiv:2409.14937](#))



ϕ : distribution Gamma tronquée à $\tau_\Phi = 25$ jours, moyenne 6,6 jours, écart-type 3,5 jours

(Cereda et coll. 2020, [arXiv:2003.09320](#); Riccardo et coll. 2020, [Euro Surveillence](#))

Modèle de Poisson remis à l'échelle

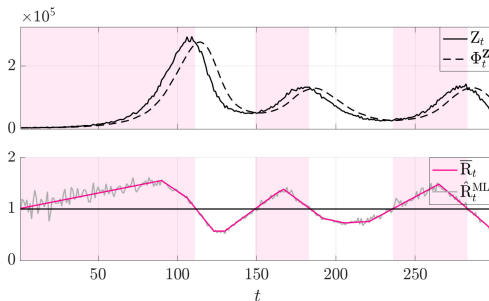
Distribution de Poisson **remise à l'échelle** $\gamma > 1$: variance mieux ajustée

$$\frac{Z_t}{\gamma} \mid Z_1, \dots, Z_{t-1} \sim \mathcal{P} \left(\frac{\Phi_t^Z R_t}{\gamma} \right), \quad \Phi_t^Z = \sum_{s=1}^{\tau_\Phi} \phi(s) Z_{t-s}$$

(Pascal et coll. 2024, [arXiv:2409.14937](#))

Estimateur du maximum de vraisemblance : $\hat{R}_t^{\text{ML}} = Z_t / \Phi_t^Z$

Données synthétiques : $\gamma = 100$ (Pascal et coll. 2024, [arXiv:2409.14937](#))



ϕ : distribution Gamma tronquée à $\tau_\Phi = 25$ jours, moyenne 6,6 jours, écart-type 3,5 jours

(Cereda et coll. 2020, [arXiv:2003.09320](#); Riccardo et coll. 2020, [Euro Surveillance](#))

Modèle de Poisson remis à l'échelle

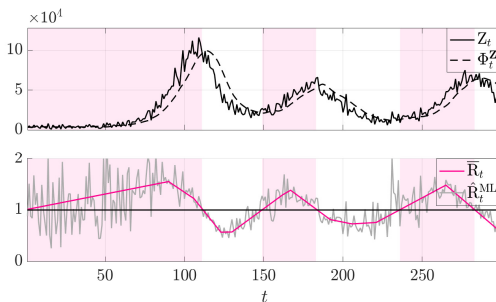
Distribution de Poisson remise à l'échelle $\gamma > 1$: variance mieux ajustée

$$\frac{Z_t}{\gamma} \mid Z_1, \dots, Z_{t-1} \sim \mathcal{P} \left(\frac{\Phi_t^Z R_t}{\gamma} \right), \quad \Phi_t^Z = \sum_{s=1}^{\tau_\Phi} \phi(s) Z_{t-s}$$

(Pascal et coll. 2024, [arXiv:2409.14937](#))

Estimateur du maximum de vraisemblance : $\hat{R}_t^{\text{ML}} = Z_t / \Phi_t^Z$

Données synthétiques : $\gamma = 1000$ (Pascal et coll. 2024, [arXiv:2409.14937](#))



ϕ : distribution Gamma tronquée à $\tau_\Phi = 25$ jours, moyenne 6,6 jours, écart-type 3,5 jours

(Cereda et coll. 2020, [arXiv:2003.09320](#); Riccardo et coll. 2020, [Euro Surveillance](#))

Modèle de Poisson remis à l'échelle

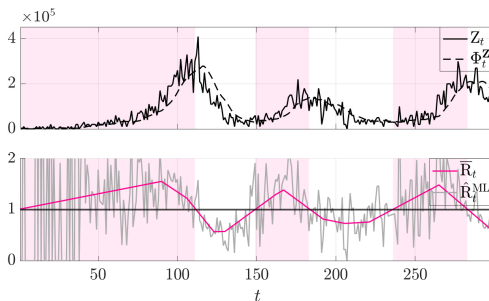
Distribution de Poisson **remise à l'échelle** $\gamma > 1$: variance mieux ajustée

$$\frac{Z_t}{\gamma} \mid Z_1, \dots, Z_{t-1} \sim \mathcal{P} \left(\frac{\Phi_t^Z R_t}{\gamma} \right), \quad \Phi_t^Z = \sum_{s=1}^{\tau_\Phi} \phi(s) Z_{t-s}$$

(Pascal et coll. 2024, [arXiv:2409.14937](#))

Estimateur du maximum de vraisemblance : $\hat{R}_t^{\text{ML}} = Z_t / \Phi_t^Z$

Données synthétiques : $\gamma = 10^4$ (Pascal et coll. 2024, [arXiv:2409.14937](#))

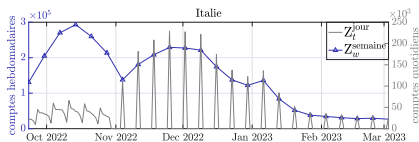
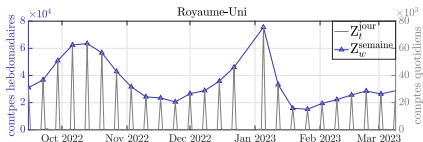


ϕ : distribution Gamma tronquée à $\tau_\Phi = 25$ jours, moyenne 6,6 jours, écart-type 3,5 jours

(Cereda et coll. 2020, [arXiv:2003.09320](#); Riccardo et coll. 2020, [Euro Surveillance](#))

Modèle épidémiologique pour des comptes hebdomadaires

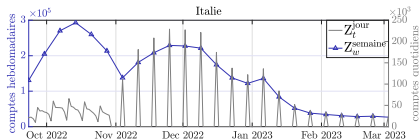
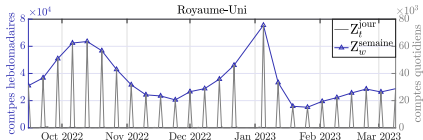
- En fin de pandémie : reports **hebdomadaires** au lieu de quotidiens



Suivi de la COVID-19 par l'Université Johns Hopkins (coronavirus.jhu.edu)

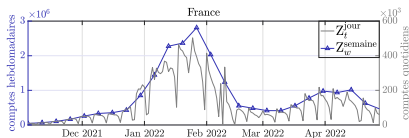
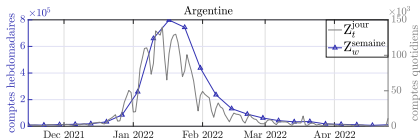
Modèle épidémiologique pour des comptes hebdomadaires

- En fin de pandémie : reports **hebdomadaires** au lieu de quotidiens



Suivi de la COVID-19 par l'Université Johns Hopkins (coronavirus.jhu.edu)

- Erreurs administratives lissées par **agrégation** des comptes sur une semaine



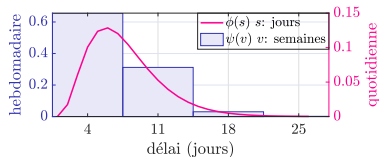
(Ferguson et coll. 2016, *Science*; Charniga et coll. 2021, *PLoS Comput. Biol.*)

Modèle de Poisson remis à l'échelle pour des comptes hebdomadaires

Cas reportés à la **semaine** w : $\gamma > 1$

ψ : fonction d'intervalle de série **hebdomadaire**

$$\frac{Z_w}{\gamma} \mid Z_1, \dots, Z_{w-1} \sim \mathcal{P} \left(\frac{\psi_w^Z R_w}{\gamma} \right),$$
$$\psi_w^Z = \sum_{v=1}^{\tau_\psi} \psi(v) Z_{w-v}$$



ϕ, ψ : distributions Gamma moyenne 6,6 jours, écart-type 3,5 jours $\tau_\psi = 4$ semaines

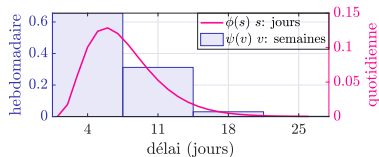
Modèle de Poisson remis à l'échelle pour des comptes hebdomadaires

Cas reportés à la **semaine** w : $\gamma > 1$

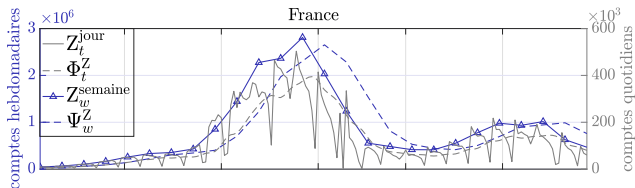
ψ : fonction d'intervalle de série **hebdomadaire**

$$\frac{Z_w}{\gamma} \mid Z_1, \dots, Z_{w-1} \sim \mathcal{P} \left(\frac{\psi_w^Z R_w}{\gamma} \right),$$

$$\psi_w^Z = \sum_{v=1}^{\tau_\psi} \psi(v) Z_{w-v}$$



ϕ, ψ : distributions Gamma moyenne 6,6 jours, écart-type 3,5 jours $\tau_\psi = 4$ semaines



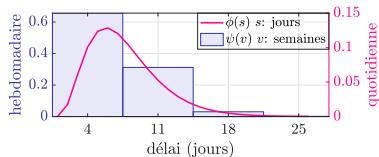
Modèle de Poisson remis à l'échelle pour des comptes hebdomadaires

Cas reportés à la **semaine** w : $\gamma > 1$

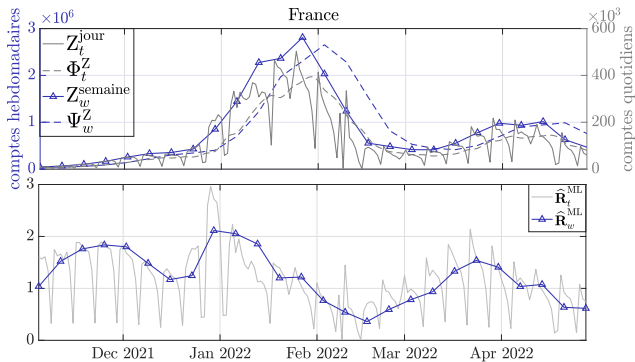
ψ : fonction d'intervalle de série **hebdomadaire**

$$\frac{Z_w}{\gamma} \mid Z_1, \dots, Z_{w-1} \sim \mathcal{P} \left(\frac{\psi_w^Z R_w}{\gamma} \right),$$

$$\psi_w^Z = \sum_{v=1}^{\tau_\psi} \psi(v) Z_{w-v}$$



ϕ, ψ : distributions Gamma moyenne 6,6 jours, écart-type 3,5 jours $\tau_\psi = 4$ semaines



Loi à priori du **nombre de reproduction hebdomadaire** :

$$\pi(R_w | R_{w-1}, R_{w-2}, \lambda_R) \propto \lambda_R e^{-\frac{\lambda_R}{4} |R_w - 2R_{w-1} + R_{w-2}|}$$

\implies loi de Laplace de paramètre λ_R sur la dérivée seconde de R_w

(Abry et coll. 2022, *GRETSI'22*; Fort et coll. 2023, *IEEE Trans. Signal Process.*)

Loi à priori du **nombre de reproduction hebdomadaire** :

$$\pi(R_w | R_{w-1}, R_{w-2}, \lambda_R) \propto \lambda_R e^{-\frac{\lambda_R}{4} |R_w - 2R_{w-1} + R_{w-2}|}$$

⇒ loi de Laplace de paramètre λ_R sur la dérivée seconde de R_w

(Abry et coll. 2022, *GRETSI'22*; Fort et coll. 2023, *IEEE Trans. Signal Process.*)

Loi a priori du **paramètre de la loi de Laplace** : Gamma, conjuguée à Laplace

$$\pi(\lambda_R) \propto \lambda_R^{\alpha_R - 1} e^{-\beta_R \lambda_R}$$

d'espérance $\mu_R = \alpha_R / \beta_R$ et de variance $\sigma_R^2 = \alpha_R / \beta_R^2$ (Abry et coll. 2025, *ICASSP*)

Loi à priori du **nombre de reproduction hebdomadaire** :

$$\pi(R_w | R_{w-1}, R_{w-2}, \lambda_R) \propto \lambda_R e^{-\frac{\lambda_R}{4} |R_w - 2R_{w-1} + R_{w-2}|}$$

⇒ loi de Laplace de paramètre λ_R sur la dérivée seconde de R_w

(Abry et coll. 2022, *GRETSI'22*; Fort et coll. 2023, *IEEE Trans. Signal Process.*)

Loi a priori du **paramètre de la loi de Laplace** : Gamma, conjuguée à Laplace

$$\pi(\lambda_R) \propto \lambda_R^{\alpha_R - 1} e^{-\beta_R \lambda_R}$$

d'espérance $\mu_R = \alpha_R / \beta_R$ et de variance $\sigma_R^2 = \alpha_R / \beta_R^2$ (Abry et coll. 2025, *ICASSP*)

⇒ $\alpha_R > 0$, $\beta_R > 0$ choisis pour que l'hyperprior soit **quasi-non informatif** via

$$\mu_R = 3,5 \times \text{std}(\mathbf{Z}) / \gamma \quad \text{et} \quad \sigma_R = 20 \times \mu_R$$

centré en valeur historique de λ_R (Abry et coll. 2020, *PLOS One*) et très **plat**

Distribution jointe à posteriori : par la règle de Bayes $\ln \pi(\mathbf{R}, \lambda_R | \mathbf{Z}, R_{-1}, R_0) =$

$$-\sum_{w=1}^W \frac{(R_w \Phi_w^Z - Z_w \ln(R_w \Phi_w^Z))}{\gamma} - \lambda_R (\|\mathbf{DR} + \delta\|_1 + \beta_R) + (W + \alpha_R - 1) \ln \lambda_R$$

- où
- $\mathbf{R} = (R_1, \dots, R_W)$: nombres de reproduction hebdomadaires
 - λ_R : hyperparamètre de la loi à priori sur \mathbf{R}
 - $\mathbf{Z} = (Z_1, \dots, Z_W)$: comptes d'infections hebdomadaires
 - R_{-1}, R_0 : nombres de reproduction initiaux
 - γ : paramètre d'échelle
 - α_R, β_R : hyperparamètres

$$\forall w \in \{2, \dots, W\}, (\mathbf{DR})_w := (R_w - 2R_{w-1} + R_{w-2})/4, \text{ au bord } (\mathbf{DR})_1 = R_1/4, (\mathbf{DR})_2 = R_2/4 - R_1/2$$
$$4\delta = (R_{-1} - 2R_0, \quad R_0, \quad 0, \quad \dots \quad 0)^T \in \mathbb{R}^W$$

Distribution jointe à posteriori : par la règle de Bayes $\ln \pi(\mathbf{R}, \lambda_R | \mathbf{Z}, R_{-1}, R_0) =$

$$-\sum_{w=1}^W \frac{(R_w \Phi_w^Z - Z_w \ln(R_w \Phi_w^Z))}{\gamma} - \lambda_R (\|\mathbf{DR} + \delta\|_1 + \beta_R) + (W + \alpha_R - 1) \ln \lambda_R$$

- où
- $\mathbf{R} = (R_1, \dots, R_W)$: nombres de reproduction hebdomadaires
 - λ_R : hyperparamètre de la loi à priori sur \mathbf{R}
 - $\mathbf{Z} = (Z_1, \dots, Z_W)$: comptes d'infections hebdomadaires
 - R_{-1}, R_0 : nombres de reproduction initiaux
 - γ : paramètre d'échelle
 - α_R, β_R : hyperparamètres

$$\forall w \in \{2, \dots, W\}, (\mathbf{DR})_w := (R_w - 2R_{w-1} + R_{w-2})/4, \text{ au bord } (\mathbf{DR})_1 = R_1/4, (\mathbf{DR})_2 = R_2/4 - R_1/2$$
$$4\delta = (R_{-1} - 2R_0, \quad R_0, \quad 0, \quad \dots \quad 0)^T \in \mathbb{R}^W$$

Distribution à posteriori marginale de \mathbf{R} : par intégration par rapport à λ_R

$$\pi(\mathbf{R} | \mathbf{Z}, R_{-1}, R_0) = \int_{\mathbb{R}_+^W} \pi(\mathbf{R} | \mathbf{Z}, R_{-1}, R_0, \lambda_R) \pi_{\alpha_R, \beta_R}(\lambda_R) d\lambda_R$$

Distribution jointe à posteriori : par la règle de Bayes $\ln \pi(\mathbf{R}, \lambda_R | \mathbf{Z}, R_{-1}, R_0) =$

$$-\sum_{w=1}^W \frac{(R_w \Phi_w^Z - Z_w \ln(R_w \Phi_w^Z))}{\gamma} - \lambda_R (\|\mathbf{DR} + \delta\|_1 + \beta_R) + (W + \alpha_R - 1) \ln \lambda_R$$

- où
- $\mathbf{R} = (R_1, \dots, R_W)$: nombres de reproduction hebdomadaires **inconnus**
 - λ_R : hyperparamètre de la loi à priori sur \mathbf{R} **inconnus**
 - $\mathbf{Z} = (Z_1, \dots, Z_W)$: comptes d'infections hebdomadaires
 - R_{-1}, R_0 : nombres de reproduction initiaux
 - γ : paramètre d'échelle
 - α_R, β_R : hyperparamètres

$$\forall w \in \{2, \dots, W\}, (\mathbf{DR})_w := (R_w - 2R_{w-1} + R_{w-2})/4, \text{ au bord } (\mathbf{DR})_1 = R_1/4, (\mathbf{DR})_2 = R_2/4 - R_1/2$$
$$4\delta = (R_{-1} - 2R_0, R_0, 0, \dots, 0)^T \in \mathbb{R}^W$$

Distribution à posteriori marginale de \mathbf{R} : par intégration par rapport à λ_R

$$\pi(\mathbf{R} | \mathbf{Z}, R_{-1}, R_0) = \int_{\mathbb{R}_+^W} \pi(\mathbf{R} | \mathbf{Z}, R_{-1}, R_0, \lambda_R) \pi_{\alpha_R, \beta_R}(\lambda_R) d\lambda_R$$

Distribution jointe à posteriori : par la règle de Bayes $\ln \pi(\mathbf{R}, \lambda_R | \mathbf{Z}, R_{-1}, R_0) =$

$$-\sum_{w=1}^W \frac{(R_w \Phi_w^Z - Z_w \ln(R_w \Phi_w^Z))}{\gamma} - \lambda_R (\|\mathbf{DR} + \delta\|_1 + \beta_R) + (W + \alpha_R - 1) \ln \lambda_R$$

- où
- $\mathbf{R} = (R_1, \dots, R_W)$: nombres de reproduction hebdomadaires **inconnus**
 - λ_R : hyperparamètre de la loi à priori sur \mathbf{R} **inconnus**
 - $\mathbf{Z} = (Z_1, \dots, Z_W)$: comptes d'infections hebdomadaires **mesurés**
 - R_{-1}, R_0 : nombres de reproduction initiaux
 - γ : paramètre d'échelle
 - α_R, β_R : hyperparamètres

$$\forall w \in \{2, \dots, W\}, (\mathbf{DR})_w := (R_w - 2R_{w-1} + R_{w-2})/4, \text{ au bord } (\mathbf{DR})_1 = R_1/4, (\mathbf{DR})_2 = R_2/4 - R_1/2$$
$$4\delta = (R_{-1} - 2R_0, R_0, 0, \dots, 0)^T \in \mathbb{R}^W$$

Distribution à posteriori marginale de \mathbf{R} : par intégration par rapport à λ_R

$$\pi(\mathbf{R} | \mathbf{Z}, R_{-1}, R_0) = \int_{\mathbb{R}_+^W} \pi(\mathbf{R} | \mathbf{Z}, R_{-1}, R_0, \lambda_R) \pi_{\alpha_R, \beta_R}(\lambda_R) d\lambda_R$$

Distribution jointe à posteriori : par la règle de Bayes $\ln \pi(\mathbf{R}, \lambda_R | \mathbf{Z}, R_{-1}, R_0) =$

$$-\sum_{w=1}^W \frac{(R_w \Phi_w^Z - Z_w \ln(R_w \Phi_w^Z))}{\gamma} - \lambda_R (\|\mathbf{DR} + \delta\|_1 + \beta_R) + (W + \alpha_R - 1) \ln \lambda_R$$

- où
- $\mathbf{R} = (R_1, \dots, R_W)$: nombres de reproduction hebdomadaires **inconnus**
 - λ_R : hyperparamètre de la loi à priori sur \mathbf{R} **inconnus**
 - $\mathbf{Z} = (Z_1, \dots, Z_W)$: comptes d'infections hebdomadaires **mesurés**
 - R_{-1}, R_0 : nombres de reproduction initiaux $R_w = Z_w / \Phi_w^Z, w \in \{-1, 0\}$
 - γ : paramètre d'échelle $\gamma = 0,025 \times \text{std}(\mathbf{Z})$
 - α_R, β_R : hyperparamètres fixés pour être non informatifs

$$\forall w \in \{2, \dots, W\}, (\mathbf{DR})_w := (R_w - 2R_{w-1} + R_{w-2})/4, \text{ au bord } (\mathbf{DR})_1 = R_1/4, (\mathbf{DR})_2 = R_2/4 - R_1/2$$

$$4\delta = (R_{-1} - 2R_0, R_0, 0, \dots, 0)^T \in \mathbb{R}^W$$

Distribution à posteriori marginale de \mathbf{R} : par intégration par rapport à λ_R

$$\pi(\mathbf{R} | \mathbf{Z}, R_{-1}, R_0) = \int_{\mathbb{R}_+^W} \pi(\mathbf{R} | \mathbf{Z}, R_{-1}, R_0, \lambda_R) \pi_{\alpha_R, \beta_R}(\lambda_R) d\lambda_R$$

Objectif : estimation de R_w **précise**, **robuste** avec **niveau de confiance** fiable

Objectif : estimation de R_w **précise, robuste** avec **niveau de confiance** fiable

Estimateurs bayésiens hiérarchiques du nombre de reproduction $\mathbf{R} = (R_1, \dots, R_W)$

- moyenne à posteriori : $\hat{\mathbf{R}}^{\text{Hebdo-Bayes}}$

sous lois jointe $\pi(\mathbf{R}, \lambda_{\mathbf{R}} | \mathbf{Z}, R_{-1}, R_0)$ et marginale $\pi(\mathbf{R} | \mathbf{Z}, R_{-1}, R_0)$

- intervalles de crédibilité à 95% : $\hat{\text{IC}}_w^{\text{Hebdo-Bayes}}$

sous loi marginale $\pi(R_w | \mathbf{Z}, R_{-1}, R_0)$

Objectif : estimation de R_w **précise**, **robuste** avec **niveau de confiance** fiable

Estimateurs bayésiens hiérarchiques du nombre de reproduction $\mathbf{R} = (R_1, \dots, R_W)$

- moyenne à posteriori : $\hat{\mathbf{R}}^{\text{Hebdo-Bayes}}$

sous lois jointe $\pi(\mathbf{R}, \lambda_{\mathbf{R}} | \mathbf{Z}, R_{-1}, R_0)$ et marginale $\pi(\mathbf{R} | \mathbf{Z}, R_{-1}, R_0)$

- intervalles de crédibilité à 95% : $\hat{\text{IC}}_w^{\text{Hebdo-Bayes}}$

sous loi marginale $\pi(R_w | \mathbf{Z}, R_{-1}, R_0)$

Ni loi jointe ni loi marginale connues sous forme **explicite** :

\implies algorithme de **Monte Carlo par chaîne de Markov**

suite $(\mathbf{R}^{(k)}, \lambda_{\mathbf{R}}^{(k)}; k \in \mathbb{N})$ **converge** en loi vers $\pi(\mathbf{R}, \lambda_{\mathbf{R}} | \mathbf{Z}, R_{-1}, R_0)$

puis moyennes, quantiles **empiriques** calculés sur $(\mathbf{R}^{(k)}, \lambda_{\mathbf{R}}^{(k)}; k \geq k_{\text{chauffe}})$

Distribution jointe à posteriori $\ln \pi(\mathbf{R}, \lambda_{\mathbf{R}} | \mathbf{Z}, \mathbf{R}_{-1}, \mathbf{R}_0)$

$$= - \sum_{w=1}^W \frac{(R_w \Phi_w^{\mathbf{Z}} - Z_w \ln(R_w \Phi_w^{\mathbf{Z}}))}{\gamma} - \lambda_{\mathbf{R}} (\|\mathbf{D}\mathbf{R} + \delta\|_1 + \beta_{\mathbf{R}}) + (W + \alpha_{\mathbf{R}} - 1) \ln \lambda_{\mathbf{R}}$$

non différentiable par rapport à \mathbf{R} et **opérateur linéaire** \mathbf{D} composé à la norme ℓ_1

Échantillonneur de Gibbs de la loi jointe à posteriori

Distribution jointe à posteriori $\ln \pi(\mathbf{R}, \lambda_R | \mathbf{Z}, \mathbf{R}_{-1}, \mathbf{R}_0)$

$$= - \sum_{w=1}^W \frac{(R_w \Phi_w^Z - Z_w \ln(R_w \Phi_w^Z))}{\gamma} - \lambda_R (\|\mathbf{D}\mathbf{R} + \delta\|_1 + \beta_R) + (W + \alpha_R - 1) \ln \lambda_R$$

non différentiable par rapport à \mathbf{R} et **opérateur linéaire** \mathbf{D} composé à la norme ℓ_1

Gibbs avec Langevin proximal (Fort et coll. 2023, *IEEE Trans. Signal Process.*)

- échantillonnage de \mathbf{R} : proposition de type **gradient proximal préconditionné**
(Pascal et coll. 2022, *IEEE Trans. Signal Process.*; Artigas et coll. 2022, *EUSIPCO'22*)
- échantillonnage de λ_R : **exact** car loi conjuguée

Échantillonneur de Gibbs de la loi jointe à posteriori

Distribution jointe à posteriori $\ln \pi(\mathbf{R}, \lambda_{\mathbf{R}} | \mathbf{Z}, \mathbf{R}_{-1}, \mathbf{R}_0)$

$$= - \sum_{w=1}^W \frac{(R_w \Phi_w^{\mathbf{Z}} - Z_w \ln(R_w \Phi_w^{\mathbf{Z}}))}{\gamma} - \lambda_{\mathbf{R}} (\|\mathbf{D}\mathbf{R} + \delta\|_1 + \beta_{\mathbf{R}}) + (W + \alpha_{\mathbf{R}} - 1) \ln \lambda_{\mathbf{R}}$$

non différentiable par rapport à \mathbf{R} et **opérateur linéaire** \mathbf{D} composé à la norme ℓ_1

Gibbs avec Langevin proximal (Fort et coll. 2023, *IEEE Trans. Signal Process.*)

- échantillonnage de \mathbf{R} : proposition de type **gradient proximal préconditionné**

(Pascal et coll. 2022, *IEEE Trans. Signal Process.*; Artigas et coll. 2022, *EUSIPCO'22*)

- échantillonnage de $\lambda_{\mathbf{R}}$: **exact** car loi conjuguée

Entrées : $\mathbf{Z}, \Phi^{\mathbf{Z}}, \mathbf{R}_{-1}, \mathbf{R}_0, \alpha_{\mathbf{R}}, \beta_{\mathbf{R}}, \varepsilon$; initialisation : $\mathbf{R}^{(0)} \in \mathbb{R}_{>0}^W, \lambda_{\mathbf{R}}^{(0)} \in \mathbb{R}_{>0}$

Résultat : $\hat{\mathbf{R}}^{\text{Hebdo-Bayes}}, \hat{\mathbf{IC}}^{\text{Hebdo-Bayes}}$

pour $k = 0 \dots k_{\max}$ **faire**

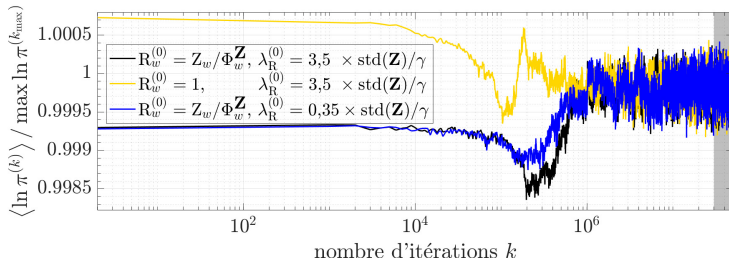
$\mathbf{R}^{(k+1)} \sim \text{PGdual}(\mathbf{R}^{(k)} | \lambda_{\mathbf{R}}^{(k)}; \mathbf{Z}, \Phi^{\mathbf{Z}}, \mathbf{R}_{-1}, \mathbf{R}_0)$; échantillonnage de \mathbf{R} à $\lambda_{\mathbf{R}}$ fixé
 $\lambda_{\mathbf{R}}^{(k+1)} \sim \Gamma(W + \alpha_{\mathbf{R}}, \|\mathbf{D}\mathbf{R}^{(k+1)} + \delta\|_1 + \beta_{\mathbf{R}})$; échantillonnage de $\lambda_{\mathbf{R}}$ à \mathbf{R} fixé

fin

$\hat{\mathbf{R}} \leftarrow \text{Moyenne}\{\mathbf{R}^{(k)}, k \geq k_{\text{chauffe}}\}; \hat{\mathbf{IC}} \leftarrow \text{Quantiles}_{\varepsilon, 1-\varepsilon}\{\mathbf{R}^{(k)}, k \geq k_{\text{chauffe}}\};$

Convergence de l'échantillonneur de Gibbs

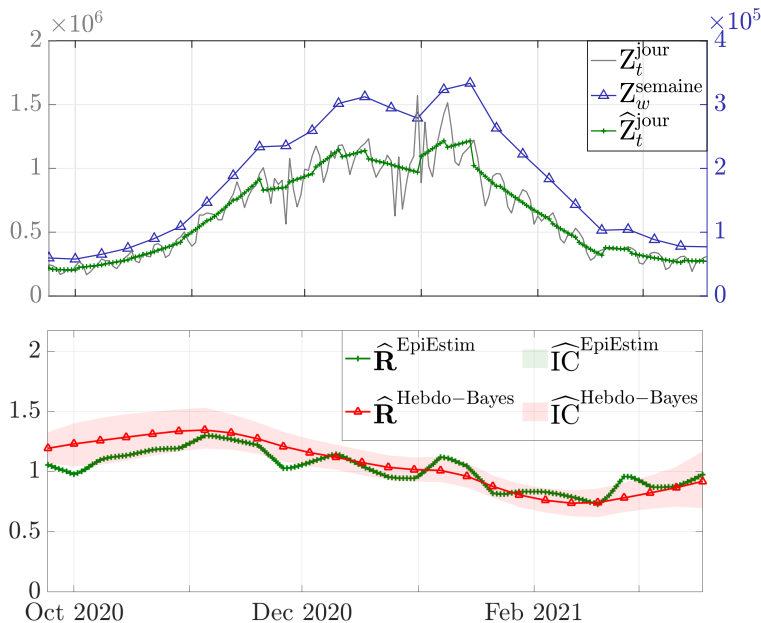
$\langle \cdot \rangle$: moyenne sur **dix** chaînes indépendantes de $5 \cdot 10^7$ itérations dont chauffe de $3 \cdot 10^7$



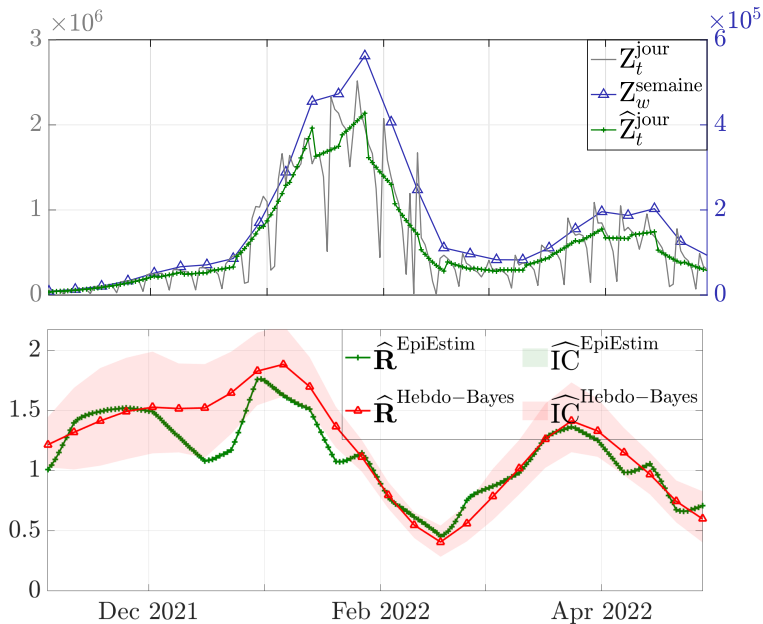
Pour les **trois** initialisations de la chaîne de Markov :

- la valeur de la log-distribution se **stabilise** ;
- de même que l'amplitude de ses **fluctuations** ;
- **indépendamment** de l'initialisation.

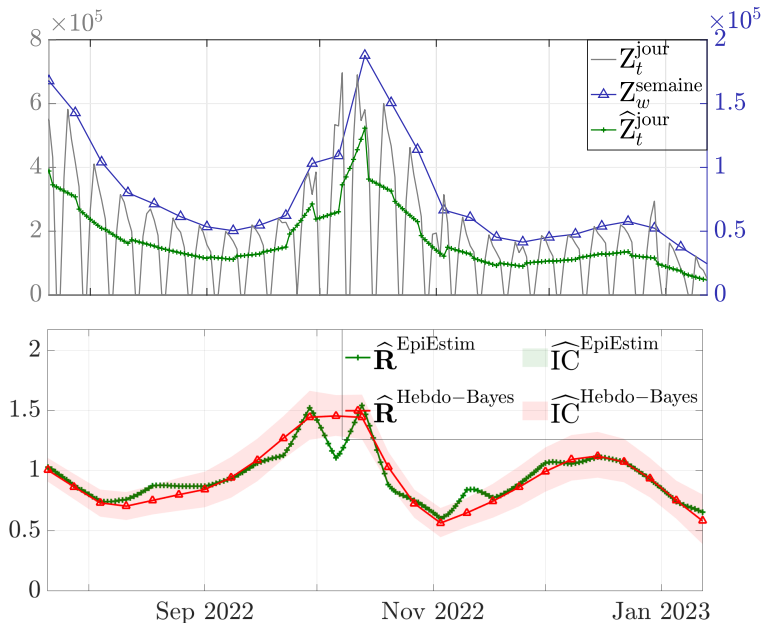
Suivi de la COVID-19 aux États-Unis : données agrégées



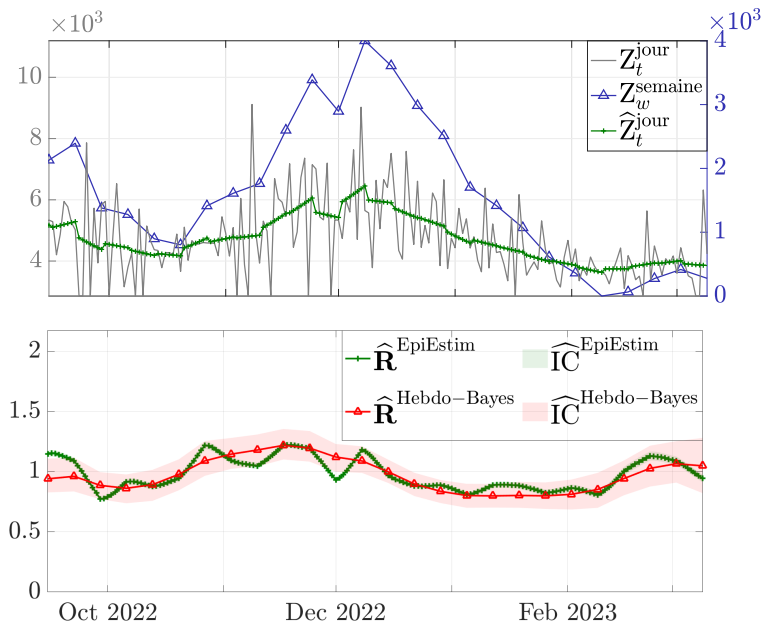
Suivi de la COVID-19 en France : données agrégées



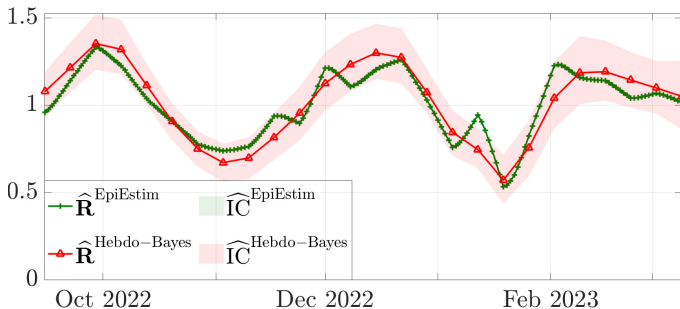
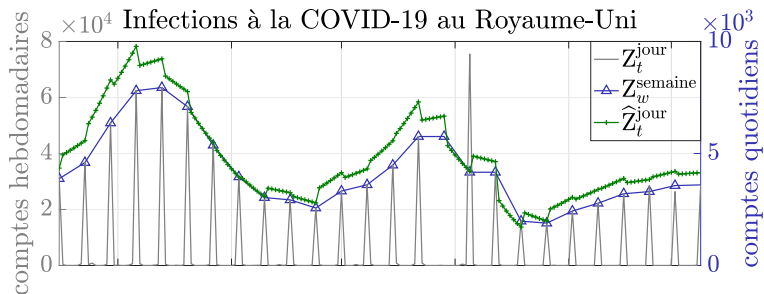
Suivi de la COVID-19 en Allemagne : données agrégées



Suivi de la COVID-19 en Israël : données agrégées



Suivi de la COVID-19 au Royaume-Uni : report hebdomadaire

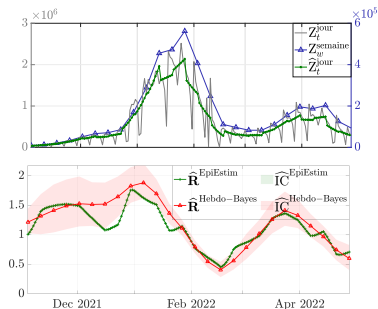


Performances comparées de l'estimateur Hebdo – Bayes

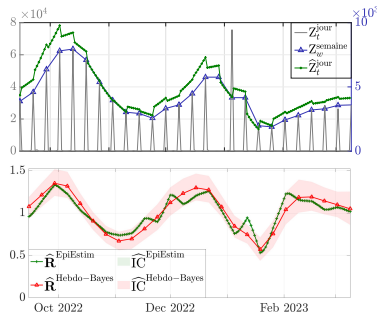
- **en accord** global avec EpiEstim sur la valeur du nombre de reproduction
- Hebdo – Bayes comportement plus **régulier** en temps et sans artefacts
- estimée plus lisible et détection passage au-dessus de un plus **précise**
- intervalle de crédibilité Hebdo – Bayes de taille plus **réaliste** et variable

⇒ mesure **précisément** R et estimation incertitude **fiable** à la fois sur

données agrégées



comptes hebdomadaires



Contributions principales :

- modèle bayésien **hiérarchique** de la propagation d'une épidémie virale
- adapté à un report de cas et donc un nombre de reproduction **hebdomadaires**
- reflétant les fluctuations intrinsèques des comptes *via* un **paramètre d'échelle**
- échantillonné par Monte Carlo par chaîne de Markov : schéma de Gibbs **efficace**

⇒ application **données réelles** différents pays/phases de la pandémie de COVID-19

Contributions principales :

- modèle bayésien **hiérarchique** de la propagation d'une épidémie virale
- adapté à un report de cas et donc un nombre de reproduction **hebdomadaires**
- reflétant les fluctuations intrinsèques des comptes *via* un **paramètre d'échelle**
- échantillonné par Monte Carlo par chaîne de Markov : schéma de Gibbs **efficace**

⇒ application **données réelles** différents pays/phases de la pandémie de COVID-19

Travaux en cours et perspectives :

- modèle remis à l'échelle **quotidien** avec prise en compte des erreurs de report
- échantillonnage joint ou estimation des **paramètres** du modèle
paramètre d'échelle γ , moyenne et écart-type de la fonction d'intervalle de série ϕ

Contributions principales :

- modèle bayésien **hiérarchique** de la propagation d'une épidémie virale
- adapté à un report de cas et donc un nombre de reproduction **hebdomadaires**
- reflétant les fluctuations intrinsèques des comptes *via* un **paramètre d'échelle**
- échantillonné par Monte Carlo par chaîne de Markov : schéma de Gibbs **efficace**

⇒ application **données réelles** différents pays/phases de la pandémie de COVID-19

Travaux en cours et perspectives :

- modèle remis à l'échelle **quotidien** avec prise en compte des erreurs de report
- échantillonnage joint ou estimation des **paramètres** du modèle

paramètre d'échelle γ , moyenne et écart-type de la fonction d'intervalle de série ϕ



hal.science/hal-05013785

